

مقایسه پروتئوم‌های جنین بذر پرایم شده و پرایم نشده گندم نان (*Triticum aestivum* L.) در مرحله جوانه‌زنی

محسن عباس آبادی^۱، رضا توکل افشاری^{۲*}، محمود چمن خواه^۳ و هوشنگ علیزاده^۴
۱، ۲، ۴، دانشجوی سابق کارشناسی ارشد، استاد و استادیار پردیس کشاورزی و منابع طبیعی
دانشگاه تهران، ۳، استادیار مرکز نانوپیوتکنولوژی پژوهشکده ابن سینا، تهران
(تاریخ دریافت: ۸۸/۹/۱۷ - تاریخ تصویب: ۸۹/۸/۵)

چکیده

برای درک بهتر پرایمینگ بذر، که باعث افزایش سرعت جوانه‌زنی و یکنواختی رویش گیاهچه می‌گردد، تأثیر اسموپرایمینگ بذر در جوانه‌زنی بذر گندم نان (*Triticum aestivum* L.) در مقیاس جنینی توسط پروتئومیکس مورد بررسی قرار گرفت. از دو نوع بذر شامل بذر اسموپرایم شده با پلی‌اتیلن‌گلایکول ۶۰۰۰ در پتانسیل اسمزی ۰/۸-۰/۸ مگاپاسکال در دمای ۱۵°C به مدت ۲۴ ساعت، و سپس خشک کردن آنها به صورت هواخشک در دمای اتاق و نوع دوم بذر شاهد بدون اعمال هیچ تیماری استفاده شد. ظهور ریشه‌چه در فواصل زمانی ۸ ساعت در یک دوره زمانی ۳۲ ساعته در هر دو تیمار طی آزمون جوانه‌زنی مورد بررسی قرار گرفت. نتایج این آزمایش برای آنالیز تأثیر پرایمینگ در مقیاس جنینی روی جوانه‌زنی بذر استفاده گردید. آنالیز پروتئومی نشان داد که پرایمینگ در اکثر فرآیندهای جوانه‌زنی حقیقی (قبل از خروج ریشه‌چه) دخالت ندارد. حدود ۱۲۵۰ پروتئین در روی ژلهای دویعدی تشخیص داده شدند، که تغییرات در فراوانی (کاهش یا افزایش بیان) ۹۲ پروتئین در طی جوانه‌زنی محض از لحظه آماری در سطح ۵٪ معنی‌دار بود. تغییرات در الگوی بیان ۲۶ پروتئین میان بذر پرایم شده و شاهد در جنین مشاهده شد. همچنین فواصل زمانی ۳۲ و ۲۴ ساعت به ترتیب بیشترین و کمترین تغییرات در الگوی بیان را نشان دادند. نتایج توالی‌بایی نقاط مورد نظر نشان داد که افزایش بیان پروتئین‌هایی مانند HSP 70 و ATP، می‌تواند در افزایش سرعت جوانه‌زنی و همچنین افزایش مکانیسم‌های دفاعی بذر نقش داشته باشد.

واژه‌های کلیدی: جوانه‌زنی، پرایمینگ، پروتئومیکس، جنین بذر، گندم نان.

متabolیکی آنها تقریباً در حال سکون می‌باشد. برای اینکه جوانه‌زنی در آنها رخ دهد نیاز است که در وضعیت محرك فعالیت‌های متabolیک مانند درجه حرارت مناسب و حضور اکسیژن، آبگیری در آنها صورت گیرد (Gallardo et al., 2001).

جذب آب در ابتدای مرحله رشدی بذر، فرآیندی سه مرحله‌ای شامل یک دوره افزایش سریع جذب آب و

مقدمه

جوانه‌زنی بذر به عنوان اساسی‌ترین مرحله تعیین‌کننده رشد گیاه می‌باشد. جوانه‌زنی فرآیند پیچیده و چندمرحله‌ای است که توسط تعداد زیادی ژن کنترل می‌گردد که خود تحت تأثیر محیط می‌باشند (Kumar et al., 2006). بذر بالغ خشک، اندام‌های در حال رکودی هستند که محتوى رطوبتی اندکی داشته و فعالیت

(Moosavi et al., 2009). این مواد غلیظ به ویژه پلی‌اتیلن گلایکول باید هوادهی شوند و بعد از عمل خشک کردن از روی بذر پاک و تصفیه گردند. مهمترین قسمت هر تیمار پرایمینگ توانایی موفق خشک کردن بذرها است. خشک کردن سریع ممکن است منجر به صدمات فیزیکی گردد، در حالی که خشک کردن بسیار آهسته ممکن است باعث زوال بذر گردد (McDonald, 1995).

تحقیقات زیادی بر روی فیزیولوژی پرایمینگ بذر صورت گرفته است. علی‌رغم این پیشرفت‌ها، محققین هنوز از زمان، مکان و چگونگی رخ دادن تأثیر مستقیم پرایمینگ مطمئن نیستند. به نظر می‌رسد که پرایمینگ وقایع فیزیولوژیک اولیه مرتبط با جوانهزنی را آغاز می‌کند. همچنین مشخص شده که پرایمینگ در عملیات بهبود بذر از طریق اصلاح زوال بذر نقش دارد. اکثر شواهد پیشنهاد می‌کنند که پرایمینگ زمان لازم را برای ترمیم صدمات حاصل از وقایع فساد حاصل از اعمال ناصحیح میتوکندریایی، عدم فعالیت آنزیمی، اختلالات غشایی و صدمات ژنتیکی که در طی انبارداری (McDonald, 1995) مطالعات بیشتری برای آشکار ساختن اتفاقاتی که در طی مراحل اولیه آبگیری و خشک کردن مجدد رخ می‌دهد، لازم است. علل کاهش بسیار سریع‌تر کیفیت بذر به ویژه در طی انبارداری باید مورد تجزیه و تحلیل قرار گیرد. بنابراین ممکن است نتیجه‌گیری شود که پرایمینگ در اصلاح عملیات بذر دو نقش مهم دارد. ابتدا، بهبود وقایعی که منجر به جوانهزنی می‌شوند و سپس، ترمیم صدمات بذر که به جوانهزنی بسیار موفق بذر منجر می‌شود. هر چه فیزیولوژی پرایمینگ بذر بهتر در گردد و اصول تکنولوژی پرایمینگ بذر مشخص شود، بذر پرایم شده محصولات بیشتر مورد استفاده قرار می‌گیرند و اجازه جوانهزنی سریع‌تر و یکنواخت‌تر را در گونه‌های بیشتری از گیاهان زراعی می‌دهند (Moosavi et al., 2009).

با وجودی که علاقه بسیار زیادی در تشخیص نشانگرهای جوانهزنی و پرایمینگ برای استفاده در صنعت بذر وجود دارد، تقریباً فرآیندهای بسیار محدودی در طی جوانهزنی بذر مشخص شده‌اند، شامل وقایع مرتبط با چرخه سلولی (DeCastro et al., 2000)

افزایش محتوی رطوبتی (مرحله یک)، سپس یک مرحله یکنواخت و با تغییرات اندک در محتوی رطوبتی (مرحله دو) و مجددًا افزایش سریع در رطوبت محتوی که با خروج ریشه‌چه و ازسرگیری رشد همراه است (مرحله سه). جوانهزنی حقیقی (محض) صرفاً به مرحله یک و دو این فرآیند اطلاق می‌گردد که در طی آن بذرهایی که آب جذب کرده‌اند تحمل به از دست دادن رطوبت را در خود حفظ می‌کنند (Bewley, 1997).

از نقطه نظر مولکولی و بیوشیمیایی مطالعات جوانهزنی امری مشکل می‌باشد. زیرا بذرها در یک توده بذری کاملاً همزمان این فرآیند را انجام نمی‌دهند (Still et al., 1997). تیمارهای پرایمینگ یکی از روش‌هایی است که برای همزمان کردن جوانهزنی بذرها استفاده می‌گردد. در طی این تیمارها، کلیه فرآیندهای مرتبط با جوانهزنی آغاز می‌گردد، اما از خروج ریشه‌چه جلوگیری می‌شود. پرایمینگ بذر عموماً باعث جوانهزنی و رویش مزرعه‌ای سریع‌تر می‌گردد که این مساله به طور بازی تحت شرایط نامطلوب جوانهزنی مشخص می‌گردد (McDonald, 1995). پرایمینگ یک روش معمول برای افزایش کارآیی بذر در صنعت بذر می‌باشد، که باعث جوانهزنی سریع‌تر و بسیار یکنواخت‌تر در محدوده‌های دمایی گسترده‌تر در اکثر گونه‌های گیاهان زراعی می‌گردد. در طی پرایمینگ مقداری آب در اختیار بذر قرار می‌گیرد که فعالیت‌های متابولیکی پیش‌جوانهزنی انجام گیرد، اما از خروج ریشه‌چه ممانعت به عمل می‌آید، سپس سطوح رطوبتی تا حد معمول کاهش می‌یابد. بهینه‌سازی این تیمارها نیاز به آزمایشات بیشتری دارد، زیرا آزمایشات قبلی تنها مؤثر بودن وضعیت‌های پرایمینگ را نشان داده‌اند (Job et al., 2000).

پرایمینگ بذر در اکثر گیاهان زراعی به عنوان یک روش مناسب در رویش سریع، یکنواخت و کامل فاکتورهای مطلوب در نظر گرفته می‌شوند و به طور موقوفیت‌آمیزی به کار می‌رود. واضح است که تکنولوژی پرایمینگ بذر هنوز باید مورد تحقیق و بررسی قرار گیرد تا تکمیل گردد. در برخی سیستم‌های بسیار پیچیده اسموپرایمینگ، محلول‌های اسمرزی (نمک‌ها و پلی‌اتیلن گلایکول (PEG)] برای کنترل آبگیری استفاده می‌شوند

مواد و روش‌ها

مواد ژنتیکی

برای بررسی الگوی پروتئوم بذر در قسمت جنین از بذر گندم نان رقم قدس (*Triticum aestivum L. cv Qods*) استفاده گردید. بذر مورد نظر در تابستان سال ۱۳۸۴ از مزرعه آزمایشی و تحقیقاتی پر迪س کشاورزی و منابع طبیعی دانشگاه تهران جمع‌آوری گردید. پرایمینگ و جوانه‌زنی در گروه زراعت و اصلاح نباتات، پر迪س کشاورزی و منابع طبیعی دانشگاه تهران و آزمایشات پروتئومیکس در آزمایشگاه نانو بیوتکنولوژی پژوهشکده ابن سینا-دانشگاه شهید بهشتی انجام شد.

روش‌ها

پرایمینگ

برای پرایم کردن بذر از پلی‌اتیلن‌گلایکول ۶۰۰۰ استفاده گردید. برای تعیین پتانسیل اسمزی از رابطه Michel & Kauffmann (1973) استفاده شد. بذر در ۱۵°C در پتانسیل اسمزی ۸- بار به مدت ۲۴ ساعت در محیط تاریک تیمار گردیدند، به طوری که تقریباً تا نیمه در محلول اسمزی شناور بوده و نیمه دیگر بذر برای جلوگیری از خفگی بذرها با هوا تماس داشتند (Aboutalebian et al., 2006). سپس بذرها با آب مقطر شستشو و با یک پارچه تمیز به آرامی خشک گردیدند و برای خشک شدن کامل، ملایم و یکنواخت به مدت ۲۴ ساعت در دمای اتاق قرار گرفتند.

آزمون جوانه‌زنی

برای بررسی قوه نامیه و میزان جوانه‌زنی در بذرهای شاهد و پرایم شده، آزمون جوانه‌زنی در پتری‌دیش‌های با یک لایه کاغذ صافی به روش روی کاغذ^۱ با چهار تکرار ۵۰ بذری درون انکوباتور (شرکت ایران خودروساز مدل ۱KIH در دمای ۱۲°C، رطوبت نسبی ۶۰٪ و در محیط تاریک انجام گرفت. سپس هر ۸ ساعت (در مجموع ۹۶ ساعت) یادداشت‌برداری (در مدت زمان ۱۰ دقیقه) برای بذر جوانه‌زده انجام شد (جدول ۱). بذری جوانه‌زده محسوب شد که ریشه‌چه در آنها ظاهر شده باشد.

برای محاسبه صفات مختلف جوانه‌زنی از فرمول‌های

شکاف آندوسپرم به علت فعالیت‌های هیدرولیزی (Bradford et al., 2000) و تجزیه پروتئین‌های ذخیره‌ای (Job et al., 1997) جوانه‌زنی محض، ترکیبی از بسیاری از این فرآیندهاست؛ ولی در طی پرایمینگ برخی از این فرآیندها می‌توانند تکمیل گرددند در حالی که برخی دیگر تنها می‌توانند آغاز شوند.

پروتئومیکس علم تازه و نوظهور است که دارای توان و دقت بسیار بالا در شناسایی پروتئین‌ها، کاربرد و چگونگی کنترل بیان آنها می‌باشد و یکی از بهترین روشها برای تعیین اطلاعات دقیق، جزیی و با ارزش با تهیه اطلاعات همزمان در طی توده‌ای از این فرآیندها می‌باشد. بنابراین می‌توان از آن در تجزیه و تحلیل فرآیندهای مرتبط با جوانه‌زنی و پرایمینگ استفاده کرد.

گندم به عنوان یکی از عمده‌ترین محصولات کشاورزی، تأمین‌کننده بیشترین نیاز غذایی انسان در کشورهای مختلف جهان است، به طوری که حدود ۱۹٪ منبع غذایی جهان را تشکیل می‌دهد. همچنین حدود ۷۰٪ کالری غذای مصرفی انسان و تقریباً ۵۰٪ پروتئین دنیا توسط غلات بالاخص گندم تأمین می‌گردد. گندم دارای ارزش غذایی بسیار بالایی است چون اولاً نسبت پروتئین به کربوهیدرات در گندم نسبت مطلوب و مناسبی برای تغذیه انسان (۱ به ۶) است، ثانیاً پروتئین موجود در گندم شامل آلبومین، گلوبولین، گلوتین و گلیادین است (Black & Bewley, 2000). محتوی پروتئینی گندم توسط عوامل ژنتیکی به اندازه عوامل محیطی تحت تأثیر قرار می‌گیرد. لزوم تحقیق در مورد عوامل مؤثر بر میزان و نوع فرآورده‌های پروتئینی در طی فرآیندهای متفاوت رشدی به ویژه جوانه‌زنی و پرایمینگ در گندم دیده می‌شود. با توجه به اهمیت روزافزون پروتئومیکس و الکتروفورز در مطالعه پروتئین‌های سلولی و حساسیت بسیار بالای آنها، از این روش‌ها در تعیین و تشخیص پروتئین‌ها و چگونگی بیان آنها استفاده می‌گردد.

هدف از این تحقیق، بررسی بیان پروتئین‌های دخیل در جوانه‌زنی و پرایمینگ با استفاده از پروتئومیکس است تا بتوان از آنها به عنوان نشانگر و شاخص در شناخت بهتر فیزیولوژی اسموپرایمینگ در جوانه‌زنی بذر استفاده کرد.

میکروتیپ‌های $1/5 \text{ ml}$ تا زمان استخراج پروتئین در 80°C -نگهداری شدند.
استخراج پروتئین

Damerval et al. استخراج پروتئین بر اساس روش (1986) با اندکی تغییرات انجام گرفت.
روش کار

در ابتدا 3 ml بافر استخراجی TCA (تری‌کلرواستیک اسید٪/۱۰، DTT٪/۰.۷ در استون) به 300 mg پودر بافت جنبی درون فالکون اضافه شد. سپس ورتكس روی مینی شیکر انجام تا کاملاً هموژنیزه گردد. در مرحله بعدی نگهداری در 20°C - به مدت یک ساعت انجام شد. سانتریفیوژ به مدت ۲۰ دقیقه در 4°C و 4000 دور در دقیقه (rpm) در مرحله بعد انجام شد. حذف محلول رویی با دقت انجام شد و سایر مراحل بر روی یخ انجام گردید. پس از اضافه کردن بافر شستشو [۳-۶ ml (٪/۰.۷ DTT)] در استون] و شکستن پلت به طور کامل، ورتكس انجام و سپس انتقال به 20°C - به مدت حداقل نیم ساعت صورت گرفت. مراحل شستشو ۳-۵ بار تکرار گردید. سپس نمونه‌ها در دمای اتاق به مدت یک ساعت یا زیر هود به مدت نیم ساعت در روی ظرف یخ نگهداری شدند. در مرحله بعدی 3 ml بافر لایزیز (اوره ۹ مولا، ٪/۴ CHAPS، ٪/۱ DTT) اضافه با $\text{pH}=3.5$ ، تریس 35 میلی‌مolar در آب) گردید. سپس خرد نمودن و حل شدن کامل پلت به وسیله مینی شیکر و ورتكس انجام گردید. در مرحله بعدی نگهداری به مدت $1/5$ ساعت در دمای اتاق بود به طوری که هر 10 دقیقه یک بار به مدت یک دقیقه ورتكس صورت گرفت. انجام سانتریفیوژ به مدت 20 دقیقه در دمای 25°C و 4000 دور در دقیقه (rpm) گام بعدی بود. در انتهای برداشتن محلول رویی به عنوان نمونه پروتئینی به میزان‌های $1 \mu\text{l}$ در تیوپهای $1/5 \text{ ml}$ و برداشتن $1 \mu\text{l}$ از نمونه برای آزمون برادفورد (سنجر پروتئین) انجام گردید. سپس ذخیره سازی بقیه نمونه پروتئینی در 70°C - تا زمان استفاده صورت گرفت.

سنجر میزان پروتئین سنجش میزان پروتئین با استفاده از روش Bradford (1976) و بر طبق روش کیت آماده شرکت بیورد در دستگاه بیوفوتومتر در طول موج 595 نانومتر

(Ranal & Santana, 2006) استفاده گردید:

$$\bar{t} = \sum_{i=1}^k n_i t_i / \sum_{i=1}^k n_i \quad (1)$$

\bar{t} : میانگین زمان جوانهزنی؛ n_i : تعداد بذرها جوانه زده در واحد زمانی i (مقدار صحیح نه تجمعی)؛ t_i : مدت زمان از آغاز آزمایش تا قرائت i ؛ k : آخرین زمان جوانهزنی.

$$CVG = (\sum_{i=1}^k f_i / \sum_{i=1}^k f_i x_i) \times 100 \quad (2)$$

CVG: ضریب سرعت جوانهزنی؛ f_i : تعداد بذرها جوانه زده در واحد زمانی i (مقدار صحیح نه تجمعی)؛ x_i : مدت زمان از آغاز آزمایش تا قرائت i .

$$GI = \sum_{i=1}^n |(15 - D_i) G_i| / S \quad (3)$$

GI: شاخص جوانهزنی؛ مقدار کل واحدهای زمانی جوانهزنی + یک؛ D_i : تعداد کل واحدهای زمانی تا قرائت i ؛ G_i : تعداد بذرها جوانه زده در واحد زمانی i ؛ S : تعداد کل بذرها استفاده شده در آزمایش.

$$CUG = \sum_{i=1}^k n_i / \sum_{i=1}^k (\bar{D} - D_i)^2 n_i \quad (4)$$

$$\bar{D} = 100 / CRG ; \quad CRG = \left(\sum_{i=1}^k n_i / \sum_{i=1}^k D_i n_i \right) \times 100$$

CUG: ضریب یکنواختی جوانهزنی؛ \bar{D} : میانگین زمان جوانهزنی؛ CRG: ضریب سرعت جوانهزنی کوتوفسکی. آماده‌سازی نمونه‌ها و استخراج جنین

بذرهای شاهد و پرایم شده در تکرارهای 50 تایی در پتری‌دیش‌های دارای یک لایه کاغذ صافی و حاوی 4 میلی‌لیتر آب مقطر قرار داده شدند. سپس پتری‌دیش‌ها به انکوباتور 12°C و شرایط تاریک منتقل شدند. بنابر نتایج آزمایش قبلی در فواصل زمانی 8 ساعت به مدت 32 ساعت بذرهای شاهد و پرایم شده از انکوباتور خارج و بلافارسله برای توقف فعالیت‌های متابولیک ابتدا درون نیتروژن مایع قرار و سپس به فریزر 80°C - منتقل گردیدند. برای نمونه‌گیری، بذرهای مورد نظر از فریزر 80°C - خارج و جنین بذر با استفاده از پنس و اسکارپر جدا گردیدند. سپس جنین‌ها با استفاده از ازت مایع درون هاون چینی به طور کامل پودر گردیدند و درون

سانتیگراد و حداکثر شدت جریان 2mA و حداکثر توان ۵ وات بود. سپس الکتروفورز بعد دوم (SDS-PAGE) که توسط دستگاه Protean II Xi Cell (شرکت بیورد) انجام شد. ابتدا آماده سازی و ریختن ژل بعد دوم انجام شد. ضخامت ژل با توجه به نوع کار $1/5\text{mm}$ انتخاب شد و درصد ژل نیز ۱۱ درصد بود. بعد از تهیه ژل متعادل کردن نوار IPG توسط 7ml از محلول متعادل کننده ($50\text{ میلیمولار، اوره }6\text{ مولار، }50\text{ میلیمولار، }8.8\text{ pH}$) گلیسرول $28/7\text{٪} / 2\text{٪ SDS}$ بروموفنل بلو $2\text{٪} / 0.002\text{٪ DTT}$ به آن اضافه شده بود انجام گردید. سپس نوارها را روی سطح ژل قرار داده و روی آن با دو میلی‌لیتر محلول آگاروز، برای پیوسته مانده نوار IPG روی ژل، پوشانده شد. در مرحله بعدی قاب ژل را بر روی دستگاه الکتروفورز نصب کرده و ابتدا به مدت ۱۵ دقیقه سانتریفیوژ گردید. سپس با $200\text{ }\mu\text{g میزان}$ IPG به محلول رهیدراسیون (اوره $8\text{ مولار، }2\text{٪ CHAPS}$)، بروموفنل بلو $2\text{٪} / 0.002\text{٪ VDTT}$ و $50\text{ میلیلیتر IPG بافر}$ به تناسب محلول به نمونه mg میلی‌لیتر از محلول اضافه گردید) به طوری که حجم محلول به $1\text{ml} 340\text{ میلیلیتر}$ برسد. نمونه کاملاً هم زده شده، دوباره به همان صورت سانتریفیوژ گردید و در مرکز یکی از شیارهای سینی بارگذاری شد. سپس درب سینی را گذاشته و مدت حداقل ۱۶ ساعت درون سینی قرار گرفت. برای انجام بعد اول، ژلهای IPG نواری را که آبگیری شده‌اند از سینی مربوطه با یک جفت پنس خارج کرده و ژلهای IPG را به طور مختصر در آب مقطر شسته و روی یک کاغذ صافی آب اضافه آن را می‌گیریم تا اولاً همه محلول رهیدراسیون حذف شود و همچنین در طی مدت زمان IEF اوره بر روی ژل کریستاله نشود. نوارهای IPG را به شیارهای موجود در روی صفحه آلاینر سریعاً منتقل و انتهای مثبت آنرا (آنده) در بالای صفحه و نزدیک به الکترود قرمز قرار دیگر در ته صفحه و نزدیک الکترود مشکی (کاتد) قرار داده شد. نوارهای الکترود مربوط در انتهای + - بر روی نوارهای IPG قرار داده شد. نوارهای الکترود باید دقیقاً با سطح ژل هر نوار IPG تماس داشته باشند. الکترودها را بالای سینی قرار داده به طوری که الکترود آند و کاتد مطابق با انتهای ژل باشد وقتی که الکترودها به طور دقیق قرار گرفتند به سمت پایین فشار داده تا با نوارهای الکترود تماس پیدا کنند. سپس روی نوارها به طور کامل با روغن معدنی (تقریباً در حدود 10 میلیلیتر) پوشش داده شدند. مدت زمان و ولتاژهای مربوطه برای نوارهای به طول 17 cm و $\text{pH}=3-10$ طبق روش استاندارد انجام شد. دمای بعد اول ۲۰ درجه

انجام شد.

الکتروفورز بعد اول و دوم

ابتدا الکتروفورز بعد اول توسط دستگاه ایزوالکتریک فوکسینگ (ساخت شرکت Pharmacia فنلاند) انجام شد. برای انجام این مرحله ابتدا رهیدراسیون نوارهای IPG با استفاده از محلول دهیدراسیون انجام شد. بدین منظور نمونه پروتئینی به مدت 10 ثانیه در دمای اتفاق 13200 دور در دقیقه سانتریفیوژ گردید. سپس با توجه به آزمون سنجش میزان پروتئین به میزان $200\text{ }\mu\text{g}$ به محلول رهیدراسیون (اوره $8\text{ مولار، }2\text{٪ CHAPS}$)، بروموفنل بلو $2\text{٪} / 0.002\text{٪ VDTT}$ و $50\text{ میلیلیتر IPG بافر}$ به تناسب محلول به نمونه mg میلی‌لیتر از محلول اضافه گردید) به طوری که حجم محلول به $1\text{ml} 340\text{ میلیلیتر}$ برسد. نمونه کاملاً هم زده شده، دوباره به همان صورت سانتریفیوژ گردید و در مرکز یکی از شیارهای سینی بارگذاری شد. سپس درب سینی را گذاشته و مدت حداقل ۱۶ ساعت درون سینی قرار گرفت. برای انجام بعد اول، ژلهای IPG نواری را که آبگیری شده‌اند از سینی مربوطه با یک جفت پنس خارج کرده و ژلهای IPG را به طور مختصر در آب مقطر شسته و روی یک کاغذ صافی آب اضافه آن را می‌گیریم تا اولاً همه محلول رهیدراسیون حذف شود و همچنین در طی مدت زمان IEF اوره بر روی ژل کریستاله نشود. نوارهای IPG را به شیارهای موجود در روی صفحه آلاینر سریعاً منتقل و انتهای مثبت آنرا (آنده) در بالای صفحه و نزدیک به الکترود قرمز قرار دیگر در ته صفحه و نزدیک الکترود مشکی (کاتد) قرار داده شد. نوارهای الکترود مربوط در انتهای + - بر روی نوارهای IPG قرار داده شد. نوارهای الکترود باید دقیقاً با سطح ژل هر نوار IPG تماس داشته باشند. الکترودها را بالای سینی قرار داده به طوری که الکترود آند و کاتد مطابق با انتهای ژل باشد وقتی که الکترودها به طور دقیق قرار گرفتند به سمت پایین فشار داده تا با نوارهای الکترود تماس پیدا کنند. سپس روی نوارها به طور کامل با روغن معدنی (تقریباً در حدود 10 میلیلیتر) پوشش داده شدند. مدت زمان و ولتاژهای مربوطه برای نوارهای به طول 17 cm و $\text{pH}=3-10$ طبق روش استاندارد انجام شد. دمای بعد اول ۲۰ درجه

اکتساب تصاویر ژلهای با استفاده از دنیسیوتومتر GS800 ساخت شرکت بیورد اسکن شده و به فرمت خام ژلهای دو بعدی (Raw 2d) (Raw 2d) ذخیره شدند و در نهایت به وسیله نرمافزار PDQuest به فرمت تیف درآورده شدند. پس از اکتساب تصاویر به فرمت دیجیتالی ژلهای دو بعدی از سلفون قرار داده و اطراف آنها را مهروموم کرده و در سلحفاً در دمای 4°C درجه سانتیگراد نگهداری شدند.

آنالیز ژلهای با نرمافزار

برای بررسی کمی و کیفی لکه‌ها در تیمارهای مختلف از نرمافزار ملانی نسخه $6/2$ (شرکت زنبو، ژنو، سوئیس) استفاده شد. به این ترتیب که ابتدا لکه‌ها شناسایی شدند و سپس ژلهای مختلف را باهم جفت نموده و مورد آنالیز آماری قرار گرفتند. به این ترتیب که پس از شناسایی نمودن لکه‌ها بر روی ژلهای دو بعدی ویرایش دستی نقاط، به طور دستی چندین لکه را در ژلهای مختلف باهم جفت نموده و علامت زده شدند. سپس به وسیله نرمافزار لکه‌ها به طور اتوماتیک در ژلهای مختلف باهم جفت گردیدند. پس از جفت

که بیان پروتئین منطبق با لکه تغییر کرده است. پس از آنالیز نمودن ژل‌ها پروتئین‌های کاندید از روی ژل رنگ‌آمیزی شده با کوماسی‌بلو جدا شدند. برای رنگ‌آمیزی ژل‌ها با استفاده از کوماسی‌بلو نیاز به بارگذاری مقادیر زیادتری پروتئین است. بنابراین برای این منظور مقدار ۱۲۰۰ میکروگرم پروتئین به همراه محلول رهیدراسیون وارد ژل شد. پس از رنگ‌آمیزی ژل با کوماسی‌بلو و تطبیق لکه‌ها باهم، لکه‌هایی که در ژل‌های تحلیلی به طور افتراقی بیان شده بودند را به طور دستی و با استفاده از اسکالپل تمیز از ژل کوماسی جدا نموده و در تیوب‌های جداگانه قرار داده و تا زمان ارسال جهت طیفسنجی جرمی در فریزر -۲۰ درجه سانتی‌گراد نگهداری شدند.

نتایج و بحث

آزمون جوانهزنی

نتایج آزمون جوانهزنی نشان داد که میانگین زمان جوانهزنی در بذر پراپایم شده بسیار کمتر از بذر شاهد و تفاوت آنها بسیار معنی‌دار بود (جدول‌های ۱ و ۲). همچنین میانگین سرعت، شاخص و یکنواختی جوانهزنی بذر پراپایم شده بیشتر از بذر شاهد و بسیار معنی‌دار بود. درصد جوانهزنی بذر شاهد و تیمار شده تفاوت معنی‌داری نشان نداد که با نتایج Aboutalebian et al. (2005) مطابقت داشت. بنابر نتایج آزمایش آزمون جوانهزنی مدت زمان کل ۳۲ ساعت با چهار بازه زمانی ۸ ساعت برای انجام فرآیند جوانهزنی بذر بدون خروج ریشه‌چه برای آزمایشات پروتئومیکس در نظر گرفته شد.

نتایج حاصل از آنالیز ژل‌ها

پس از شناسایی لکه‌ها توسط نرم‌افزار، به طور متوسط حدود ۱۰۰۰ لکه تکراری در کلیه تیمارها رویت شدند. نتایج حاصل از جفت نمودن ژل‌ها نشان داد که حدود ۷۵۰ لکه به طور تکرارپذیر در کلیه تیمارها باهم جفت شدند. آزمون آماری t-استیوونت نشان داد که برای ۹۲ لکه بین تیمار پراپایمینگ و شاهد تفاوت معنی‌داری نشان می‌دهند. از این تعداد ۴۸ لکه از لحاظ آماری تفاوت بسیار معنی‌دار نشان دادند.

به منظور جداسازی و انجام طیفسنجی جرمی بر روی لکه‌هایی که به صورت افتراقی در اثر تیمار

نمودن، به طور دستی لکه‌ها بررسی شدند تا از صحت عمل نرم‌افزار در جفت نمودن لکه‌ها اطمینان حاصل گردد. ژل‌های مربوط به تیمارهای مختلف را به هم جفت نموده و سپس دو با هم مقایسه کرده و تفاوت‌های بین لکه‌های دو تیمار متفاوت را شناسایی شدند. طبق دستورالعمل ذکر شده در نرم‌افزار آموزشی ملانی به وسیله Inter Class Report لکه‌هایی که درصد حجمی آنها بین دو تیمار به میزان دو برابر در Ratio با هم اختلاف داشتند به عنوان پروتئین‌های کاندیدا شناخته شدند که بین دو تیمار تفاوت معنی‌دار نشان می‌دادند. در حقیقت تعیین درصد حجمی لکه‌ها روش مناسبی برای بررسی تفاوت‌های کمی لکه‌ها بین ژل‌های مختلف یک تیمار و ژل‌های تیمارهای مختلف است. برای هر لکه در هر ژل درصد حجمی براساس فرمول زیر محاسبه شد:

$$\%Vol = \frac{Vol}{\sum_{s=1}^n Vol_s} \times 100$$

که در این فرمول Vol_s حجم لکه s در ژل است که لکه دارد.

در حقیقت مقدار درصد حجمی هر لکه مقدار کمی نرم‌البیزه شده هر لکه است و مستقل از تغییراتی که ممکن است در اثر تفاوت در مقدار پروتئین بارگذاری شده و یا تغییر در لکه‌ها به واسطه تغییرات رنگ‌آمیزی می‌باشد. یکی از روش‌های شناسایی لکه‌هایی که بین دو تیمار تفاوت معنی‌دار نشان می‌دهند، استفاده از آزمون آماری t-استیوونت است. برای انجام آزمون t-بایستی داده‌ها پیوسته بوده و منحنی پراکنش آنها حول میانگین از توزیع نرمال پیروی کند. همچنین واریانس دو تیمار بایستی مشابه باشد. نرم‌افزار ملانی با توجه به میانگین هر لکه در تیمار و طبق رابطه:

$$t = \frac{(\bar{x}_1 - \bar{x}_2) \sqrt{n_1 + n_2 - 2}}{\sqrt{\left(\frac{1}{n_1} + \frac{1}{n_2} \right) (n_1 s_1^2 + n_2 s_2^2)}}$$

مقدار t-استیوونت را بین دو تیمار محاسبه می‌نماید. \bar{x}_1 و \bar{x}_2 میانگین مقادیر درصد حجمی هر لکه در هر تیمار است و s انحراف معیار می‌باشد. درجه آزادی برای t محاسباتی می‌باشد و آنیز تعداد تکرارها t را در هر تیمار نشان می‌دهد برای هر لکه‌ای که t محاسباتی از t جدول بزرگتر باشد می‌توان نتیجه گرفت

پرایمینگ و شاهد نشان دادند که ۳ لکه آن در سطح آماری ۱٪ نیز تفاوت معنی‌دار داشتند. ۸ لکه از ۹ لکه بیان بیشتری در تیمار شاهد نسبت به پرایم داشتند. تعداد لکه‌هایی که در بازه زمانی ۱۶ ساعت بین تیمار شاهد و پرایمینگ تفاوت معنی‌داری در سطوح آماری ۵٪ و ۱٪ نشان دادند به ترتیب ۵ و ۱ لکه بود، که از این تعداد ۲ لکه بیان بیشتری در تیمار پرایمینگ داشتند. همچنین تعداد این لکه‌ها در بازه زمانی ۲۴ به ترتیب ۱ و ۱ لکه و در بازه زمانی ۳۲ ساعت ۱۱ و ۷ لکه در سطوح آماری ۵٪ و ۱٪ بود. تعداد لکه‌های با بیان کمتر در تیمار پرایمینگ در بازه زمانی ۲۴ ساعت ۱ و در ۳۲ ساعت ۴ لکه بود. بنابراین در مقایسه بین تیمار شاهد و پرایمینگ در مجموع در ۴ بازه زمانی تعداد ۲۶ و ۱۵ لکه به ترتیب در سطوح آماری ۵٪ و ۱٪ تفاوت معنی‌داری از لحاظ آماری نشان دادند، که ۹ لکه بیان کمتری در تیمار پرایمینگ نسبت به شاهد داشتند. مقایسه بازه‌های زمانی مختلف روند بیان پروتئین‌ها را در طی پرایمینگ و جوانه‌زنی مشخص کرد (شکل ۳). به طوری که مقایسه بازه زمانی ۸ با ۱۶ ساعت در تیمار پرایمینگ نشان داد که تعداد ۶ لکه در سطح آماری ۵٪ تفاوت معنی‌دار دارند و از این تعداد ۲ لکه در سطح

پرایمینگ دچار تغییر بیان شده بودند، ژلهای تیمار شاهد و پرایمینگ در بازه زمانی ۸ ساعت دوباره تکرار شدند، با این تفاوت که میزان پروتئین مورد استفاده افزایش یافته و از رنگ‌آمیزی کوماسی‌بلو به جای نیترات نقره به دلیل سازگار بودن با ژلهای طیف‌سنجی جرمی و انجام مطالعات بعدی استفاده شد. اما پس از مقایسه ژلهای حاصل از رنگ‌آمیزی کوماسی‌بلو با ژلهای رنگ‌آمیزی شده با نیترات نقره تنها تعداد ۵۰ مورد، از ۹۸ لکه، در این ژلهای مشاهده شدند که حدود ۲۸ لکه تفاوت معنی‌دار در سطح ۱٪ نشان دادند. این ۲۸ مورد برای انجام طیف‌سنجی جرمی و مطالعات بعدی انتخاب شدند (شکل‌های ۱ و ۲).

تمامی این لکه‌ها از ژلهای شاهد ۸ ساعت جدا و برای طیف‌سنجی جرمی ارسال گردید. جدول سه لکه‌های با تفاوت معنی‌دار در ژلهای کوماسی‌بلو را نشان می‌دهد. نقاط دارای تفاوت معنی‌دار در سطح ۵٪ و ۱٪ به ترتیب با یک و دو ستاره مشخص شده‌اند که نقاط دارای تفاوت معنی‌دار در سطح ۱٪ همان نقاط ارسالی برای طیف‌سنجی جرمی می‌باشند.

در بازه زمانی ۸ ساعت تعداد ۹ لکه تفاوت معنی‌دار از لحاظ آماری در سطح ۵٪ بین دو تیمار

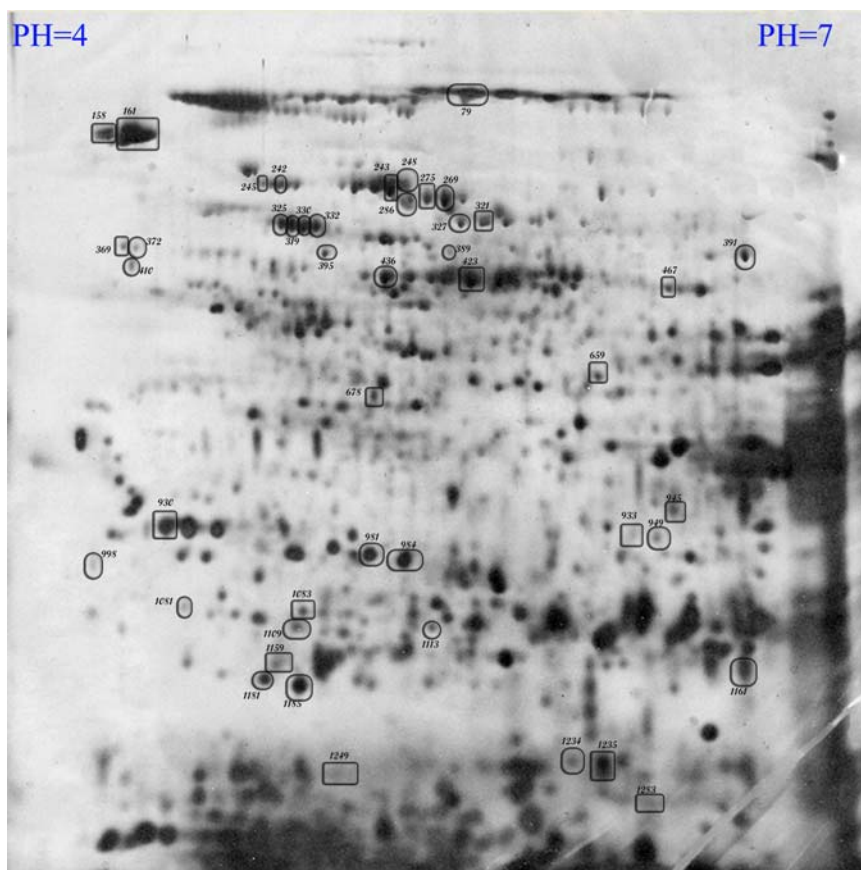
جدول ۱- روند جوانه‌زنی بذرها پرایم شده و شاهد گندم نان در بازه‌های زمانی ۸ ساعت

پذرها شاهد						پذرها پرایم						تیمارها	
۴	۳	۲	۱	۴	۳	۲	۱	۴	۳	۲	۱	یادداشت برداری تکرار	
.	۸	
.	۱۶	
۱	۰	۰	۰	۲	۲۰	۱۲	۱۶	۱۵	۲۴	۳۱	۳۷	۳۲	
۷	۱	۱	۱	۶	۳۱	۳۰	۳۱	۳۷	۴۰	۴۲	۴۵	۴۰	
۱۶	۲۱	۷	۲۱	۴۰	۳۹	۴۲	۴۵	۴۸	۴۷	۴۷	۴۸	۴۸	
۳۶	۳۸	۲۳	۴۲	۴۹	۴۸	۴۹	۴۸	۴۹	۴۹	۴۹	۴۹	۵۶	
۴۰	۴۳	۴۰	۴۷	۵۰	۴۹	۴۹	۴۹	۴۸	۴۹	۴۹	۴۹	۶۴	
۴۸	۴۷	۴۷	۵۰	۵۰	۴۹	۴۹	۴۹	۴۹	۴۹	۴۹	۴۹	۷۲	
۴۹	۴۸	۴۹	۵۰	۵۰	۴۹	۴۹	۴۹	۴۹	۴۹	۴۹	۴۹	۸۰	
۴۹	۴۹	۴۹	۵۰	۵۰	۵۰	۴۹	۴۹	۴۹	۴۹	۴۹	۴۹	۸۰	
۵۰	۵۰	۴۹	۵۰	۵۰	۵۰	۵۰	۵۰	۵۰	۵۰	۵۰	۵۰	۸۸	
۵۰	۵۰	۴۹	۵۰	۵۰	۵۰	۵۰	۵۰	۵۰	۵۰	۵۰	۵۰	۹۶	

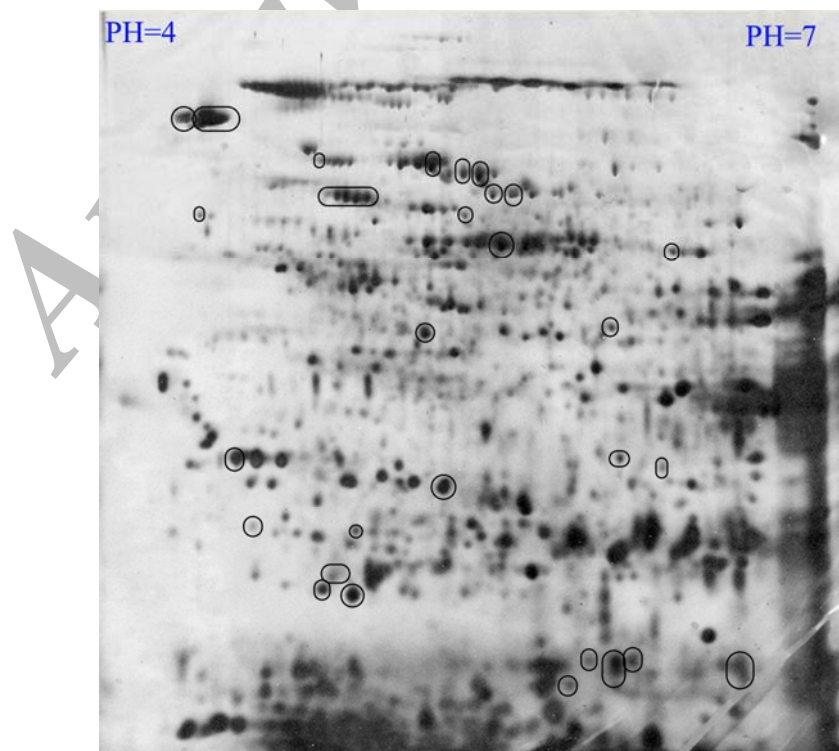
جدول ۲- میانگین و میانگین مربعات بذرها پرایم شده و شاهد در صفات اندازه گیری شده گندم نان

صفات						تیمار	
میانگین بذرها پرایم	میانگین بذرها شاهد	میانگین مربعات	درصد جوانه‌زنی	سرعت جوانه‌زنی	زمان جوانه‌زنی	یکنواختی جوانه‌زنی	شاخص جوانه‌زنی
۳/۲۶	۲/۸۸۲	۳۴/۴۸	۲/۹۰۲	۱۰۰			
۲/۶۸۵	۰/۰۲۱	۴۸/۴۸	۲/۰۵۸	۹۹/۵			
۰/۴۹۸**	۰/۶۶۱**	۳۹۱**	۱/۴۲۷**	۰/۵ ns			

** و ns به ترتیب معنی‌دار در سطح ۱٪ و غیرمعنی‌دار.



شکل ۱- لکه‌هایی که در طی ۸ ساعت فرآیند جوانه زنی بذر پراIBM شده تفاوت معنی‌دار داشتند و در ژل با رنگ‌آمیزی کوماسی‌بلو نیز مشاهده شدند (نقاط شماره‌دار).



شکل ۲- لکه‌هایی که در طی ۸ ساعت فرآیند جوانه‌زنی بذر پراIBM شده در سطح ۰/۱٪ تفاوت معنی‌دار داشتند و در ژل با رنگ‌آمیزی کوماسی‌بلو نیز مشاهده شدند (ارسال برای طیف‌سنجی جرمی).

جدول ۳- نقاط پروتئینی با تفاوت معنی‌دار در سطح ۵٪ (*) و ۱٪ (**) در طی فرآیند جوانه‌زنی در ژل کوماسی بلو (KDa) و وزن ملکولی pH ایزوکلریک شماره نقاط ر دیف

(KDa)	pH	وزن ملکولی	ایزوکلریک	شماره نقاط	ردیف
۱۰۳		۵۶۸		۷۹**	۱
۸۷		۴۲۹		۱۵۸*	۲
۸۷		۴.۴۹		۱۶۱*	۳
۷۳		۵		۲۲۲**	۴
۷۷		۵.۳۹		۲۴۳*	۵
۷۴		۴.۹۴		۲۴۵*	۶
۷۷		۵.۴۴		۲۴۸**	۷
۷۰		۵.۰۷		۲۶۹**	۸
۷۱		۵.۰۱		۲۷۵*	۹
۷۰		۵.۴۲		۲۸۶**	۱۰
۶۵		۵.۰۳		۳۱۹**	۱۱
۶۵		۵.۷۲		۳۲۱*	۱۲
۶۶		۴.۹۹		۳۲۵**	۱۳
۶۶		۵.۶		۳۲۷**	۱۴
۶۶		۴.۹۵		۳۲۸*	۱۵
۶۵		۵.۰۷		۳۲۰**	۱۶
۶۵		۵.۱۲		۳۲۲**	۱۷
۵۷		۴.۴۵		۳۶۹*	۱۸
۵۷		۴.۴۹		۳۷۲**	۱۹
۶۱		۵.۰۲		۳۸۰*	۲۰
۶۰		۵.۶		۳۸۹**	۲۱
۵۷		۶.۶۹		۳۹۱**	۲۲
۵۹		۵.۱۴		۳۹۵**	۲۳
۵۴		۴.۴۸		۴۱۰**	۲۴
۵۴		۵.۶۶		۴۲۳*	۲۵
۵۵		۵.۳۶		۴۴۶**	۲۶
۵۱		۶.۴		۴۶۷*	۲۷
۳۹		۶.۰۹		۶۵۹*	۲۸
۳۹		۵.۲۹		۶۷۸*	۲۹
۲۸		۴.۵۸		۹۳۰*	۳۰
۲۷		۶.۲۹		۹۲۳*	۳۱
۲۷		۶.۴۶		۹۴۵*	۳۲
۲۶		۶.۲۶		۹۴۹**	۳۳
۲۶		۵.۲۶		۹۸۱**	۳۴
۲۶		۵.۲۸		۹۸۴**	۳۵
۲۵		۴.۳۳		۹۹۸**	۳۶
۲۴		۴.۶۴		۱۰۸۱**	۳۷
۲۴		۵.۰۳		۱۰۸۳*	۳۸
۲۳		۵.۰۱		۱۱۰۹**	۳۹
۲۳		۵.۴۷		۱۱۱۳**	۴۰
۲۲		۴.۹۷		۱۱۵۹*	۴۱
۲۱		۶.۵۹		۱۱۶۱**	۴۲
۲۱		۴.۹		۱۱۸۱**	۴۳
۲۱		۵.۰۱		۱۱۸۵**	۴۴
۲۰		۶.۸۲		۱۱۹۶*	۴۵
۱۸		۵.۸۹		۱۲۳۴**	۴۶
۱۸		۶.۸		۱۲۴۴*	۴۷
۱۸		۶.۱۳		۱۲۶۱*	۴۸
۱۸		۵.۸۲		۱۲۶۹**	۴۹
۱۷		۶.۲۹		۱۲۸۳*	۵۰

نقاطی که دارای دو ستاره هستند برای طیف‌سنجی جرمی ارسال شدند.

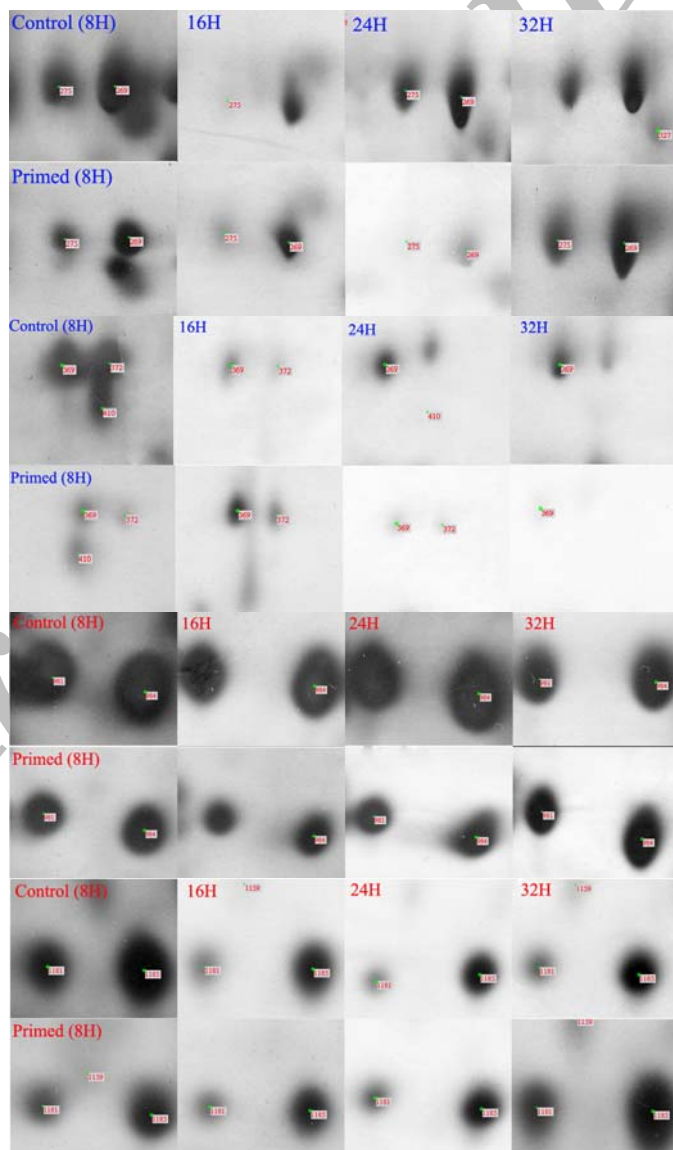
آماری ۱٪ نیز تفاوت معنی‌دار نشان دادند. هر ۶ لکه در این مقایسه کاهش بیان نشان دادند. در حالی که در مقایسه مشابه بازه‌های زمانی ۸ و ۱۶ ساعت در تیمار شاهد تعداد لکه‌های با تفاوت معنی‌دار در سطوح آماری ۵٪ و ۱٪ به ترتیب ۳۹ و ۱۹ لکه بود، که ۴ لکه افزایش بیان و ۳۵ لکه کاهش بیان نشان دادند. در مقایسه بازه زمانی ۱۶ با ۲۴ ساعت کمترین تفاوت معنی‌دار در سطح آماری پرایمینگ ۴ لکه در سطح آماری ۵٪ و ۳ لکه در سطح آماری ۱٪ بود و ۲ لکه کاهش بیان نشان داشتند. در تیمار پرایمینگ ۹ لکه افزایش بیان در سطح آماری ۵٪ و ۱٪ بود و ۳ مورد افزایش بیان در میان آنها دیده شد. مقایسه الگوی پروتئوم بذر در بازه زمانی ۲۴ با ۳۲ ساعت دوباره بیان پروتئین‌های بیشتری را نشان داد. تعداد لکه‌های با تفاوت معنی‌دار از لحظه شاهد هم تعداد این لکه‌ها به ترتیب ۹ و ۵ لکه در سطوح آماری ۵٪ و ۱٪ بودند. در تیمار شاهد ۶ لکه افزایش بیان (۱۲ مورد مورد افزایش بیان) و پرایمینگ ۱۸ لکه در سطح آماری ۱٪ افزایش بیان) بودند. در حالی که در سطح آماری ۱٪ تعداد لکه‌های با تفاوت معنی‌دار در تیمار شاهد ۵ لکه و در پرایمینگ ۹ لکه بود.

مقایسه الگوی پروتئوم در بازه‌های زمانی به طور گستردگی نیز انجام شد (شکل ۳). در مقایسه بازه زمانی ۸ با ۲۴ ساعت تعداد لکه‌های با تفاوت معنی‌دار در سطوح آماری ۵٪ و ۱٪ به ترتیب ۴۷ و ۲۶ برای تیمار شاهد مشاهده شد که ۴۵ مورد کاهش بیان داشتند و ۱۵ و ۷ مورد برای تیمار پرایمینگ بود که ۱۳ مورد کاهش بیان نشان دادند. تعداد این لکه‌ها برای بازه زمانی ۸ و ۲۲ ساعت برای تیمار شاهد ۳۲ و ۱۳ لکه با کاهش بیان (۳۱ لکه) و برای تیمار پرایمینگ ۱۴ و ۴ لکه (۵ مورد افزایش بیان) بود. همچنین در مقایسه بازه زمانی ۱۶ با ۳۲ ساعت الگوی پروتئوم تفاوت معنی‌دار از لحظه شاهد در سطح ۵٪ و ۱٪ را برای ۱۳ و ۴ لکه در تیمار پرایمینگ (۱۰ مورد افزایش بیان) و ۴ و ۱ لکه را برای تیمار شاهد نشان داد، که ۳ لکه با افزایش بیان مواجه بودند.

در مجموع در مقایسه بازه‌های زمانی با یکدیگر تفاوت معنی‌دار در بیان ۹۲ و ۴۸ پروتئین در سطوح آماری ۵٪ و ۱٪ مشاهده شد. از میان این لکه‌ها در طی فرآیند پرایمینگ و جوانه‌زنی ۵۷ لکه فقط کاهش بیان،

نبوده اند. این مورد با نتایج ما مطابقت ندارد. اما مقدار actin7، زیرواحدهای توبولین و یک پروتئین WD-40 در گیر در گیرنده‌گی پروتئین کیناز ۵ فعال شده (RACK) به همراه با آغاز طویل شدن سلولی و فعالیت چرخه سلولی فعالیت آن افزایش یافته است. همچنین در این آزمایش مشخص شد که پروتئین‌های متاپولیک در مرحله اول آبگیری در بذرها خشک غیرخواب، از پیش سنتز شده‌اند و پروتئین‌های سنتز شده جدید در کامل شدن این فرآیندها در مرحله دوم آبگیری نقش دارند.

۱۶ لکه فقط افزایش بیان و ۱۸ لکه هم کاهش و هم افزایش بیان معنی‌دار از لحاظ آماری نشان دادند. نتایج اولیه نشان داد که میزان بیان ۹۲ و ۴۸ پروتئین به ترتیب در سطوح ۷.۵٪ و ۱٪ تغییر معنی‌دار داشته‌اند (Gallardo et al. 2001) که با مطالعه انجام شده توسط آب در آن میزان بیان ۳۹ پروتئین در طی جذب آب بذرها تغییر یافته است، مطابقت ندارد. گزارش شده که تنها میزان بیان ۳۹ پروتئین در طی جذب آب بذرها تغییر یافته است که هیچکدام از این آنزیمهای تنفسی



شکل ۳- الگوی بیان لکه‌های ۲۷۵، ۲۶۹، ۳۶۹، ۳۷۲، ۹۸۴، ۹۸۱، ۱۱۸۱، ۱۱۸۵ و ۱۱۸۱ در تیمار شاهد و پرایمینگ در طول فرآیند جوانه‌زنی بذر گندم. در اکثر لکدها، ابتدا کاهش بیان و سپس افزایش بیان و تفاوت معنی‌دار در بیان لکه‌های ۱۱۸۱ و ۹۸۱ در بین تیمار شاهد و پرایمینگ مشاهده می‌گردد.

کاهش می‌یابند. به عبارت دیگر، این پروتئین‌ها به عنوان منبع ذخیره ممکن است منابع نیتروژنی و کربنی را برای جنین در حال جوانه‌زنی بر اساس آنالیز ترکیب اسید‌آمینه آنها فراهم کنند (Komatsu et al., 2005).

نتایج توالی‌یابی

توالی‌یابی با استفاده از روش MS/MS انجام گردید. نتیجه توالی‌یابی اولیه به صورت جدول زیر بوده است. نتایج توالی‌یابی نشان داد که کاندیدهای پروتئین ATP synthase، Bip، HSP70، Bip، HSP70، ATP synthase، Endo- β -1,3 Glucanase و beta unit احتمالی برای این نقاط می‌باشند.

مشابه با این آزمایش گزارش شد که تجمع توبولینی در طی جوانه‌زنی بذر در ارتباط با فعال‌سازی دوباره فعالیت چرخه سلولی است (DeCastro et al., 2000). همچنین گزارش کردند که تجمع پروتئین WD-40 در طی فرآیند جوانه‌زنی در آراییدوپسیس برخلاف برنج است که این نتیجه را در پی دارد که فرایند جوانه‌زنی در گونه‌های مختلف گیاهی کاملاً مشابه نمی‌باشد (Gallardo et al., 2003). در جنین برنج و ذرت دو پروتئین گلوبولینی در سطوح بالا در طی نمو جنین تجمع می‌یابند و سریعاً در مراحل اولیه جوانه‌زنی بذر

پروتئین فرضی مرتبه	وزن ملکولی	pH	شماره ایزوکتریک	شماره نقاط دسترسی
BiP isoform B	gi 475600	5.44	gi 475600	۲۴۸
Putative heat shock 70 kDa protein, mitochondrial precursor	gi 17476086	5.57	gi 17476086	۲۶۹
ATP synthase beta subunit	gi 525291	5.36	gi 525291	۴۳۶
Endo- β -1,3 Glucanase	gi 25434566	4.58	gi 25434566	۹۸۴

اهمیت حیاتی برای بقای تمامی ارگانیسم‌های زنده دارد (Stock et al., 1999). ATP سینتازها از کمپلکس کاتالیتیک بیرونی F₁ که دارای ۵ زیرواحد مختلف (α₃β₃γδε) است و مسیر پروتونی F₀ تشکیل شده است (Groth & Strotmann, 1999). افزایش بیان این پروتئین در طی فرآیند جوانه‌زنی که در بذرها پرایم شده با سرعت بسیار بیشتری صورت گرفت نشان‌دهنده سنتز میتوکندری‌های جدید جهت تأمین انرژی مورد نیاز برای واکنش‌های در حال آغاز برای تولید یک گیاه جدید می‌باشد. همچنین این مطلب بیانگر این است که سرعت بیشتر سنتز میتوکندری‌ها در بذرها پرایم شده احتمالاً به دلیل سرعت و میزان بیشتر فعالیت انجام شده در این بذرها می‌باشد.

Endo- β -1,3 Glucanase آنزیم‌های با فراوانی بسیار زیاد در گونه‌های گیاهی بذرزاد می‌باشند (Høj et al., 1995). اگرچه نقش اصلی این پروتئین‌ها، نقش احتمالی آنها در مقابله گیاهان با عوامل بیماری‌زا و میکروبی باشد، مدارک بسیار زیادی وجود دارد که این آنزیم‌ها در فرآیندهای متنوع فیزیولوژیکی و نموی در گیاهان غیرمتلا مانند تقسیم سلولی (Fulcher et al., 1976)، میکروسپروژن (Bucciaglia et al., 1994)، جوانه‌زنی

Bip و HSP70 جزو چاپرون‌های ملکولی به شماره ۲۴۸ و در بسیاری از اعمال سلولی مانند تاخوردگی‌های پروتئینی، انتقال پروتئین‌ها از غشاها، تغییر در فعالیت پروتئین‌ها، تنظیم میزان تجزیه پروتئین‌ها و جلوگیری از تشکیل توده‌های پروتئینی غیرقابل بازگشت نقش دارند (Su & Li, 2008). HSP70‌های گیاهی توسط یک خانواده چندزنی کد می‌گردند و آنالیز توالی‌های این خانواده ژنی نشان داده که ۴ زیرگروه اصلی وجود دارند که در سیتوسوال، شبکه آندوپلاسمی، پلاستیدها و میتوکندری‌ها تجمع می‌یابند (Sung et al., 2001). بیان این دو پروتئین همچنین در واکنش به تنش‌های غیرزنده به خصوص تنش‌های حرارتی تغییر می‌کند (Alvim et al., 2001). بنابراین می‌توان نتیجه‌گیری کرد که کاهش بیان این پروتئین‌ها در بازه زمانی ۱۶ و ۲۴ ساعت نشان‌دهنده کاهش مقاومت به تنش‌های غیرزنده و همچنین تحمل به پس آبش باشد و افزایش بیان این دو پروتئین در بازه زمانی ۳۲ ساعت بیانگر القای دوباره مقاومت می‌باشد. ATP synthase β subunit یکی از زیرواحدهای پایه در کمپلکس F₀F₁ میتوکندری‌یابی می‌باشد. ATP واحد انرژی سلولی می‌باشد و کنترل تولید و تجزیه آن

همچنین تنش دارند. نتایج این تحقیق بیانگر اهمیت تیمار پرایمینگ در افزایش بیان پروتئین‌های محور جنبی بذر می‌باشد. افزایش بیان پروتئین‌های مانند ATP synthase β subunit میتوکندری‌های جدید به عنوان موتور تولید انرژی سلولی می‌باشد می‌تواند عامل تعیین‌کننده در افزایش سرعت جوانه‌زنی بذر پرایم شده باشد. افزایش بیان پروتئین 70 HSP در بذر پرایم شده می‌تواند عامل تعیین‌کننده در حفظ و سلامت پروتئین‌های درگیر در واکنش‌های ضروری محور جنبی باشد. به طور کلی می‌توان بیان کرد که پرایمینگ بذر می‌تواند نقش بسزایی در افزایش فعالیت پروتئین‌های کلیدی درگیر در رشد محور جنبی داشته باشد.

گرده و رشد لوله گرده (Meikle et al., 1991)، للاح (Helleboid et al., 1990)، جنبی‌زایی (Ori et al., 1990)، (Hinton et al., 1980)، رسیدن میوه (1998)، جوانه‌زنی (Leubner-Metzger et al., 1995)، تجزیه ذخایر آندوسپرمی بذرها غلات (Fincher et al., 1993) و واکنش به صدمات فیزیکی، سرما، ازن و اشعه ماوراء (Ernst et al., 1996; Hincha et al., 1997) بنابراین افزایش بیان این پروتئین در بذر دخالت دارند. بنابراین افزایش بیان این پروتئین در بذر شاهد و میزان بالای آن در بذر پرایم شده بیانگر تقویت مکانیسم دفاعی در برابر عوامل خارجی می‌باشد.

نتیجه‌گیری نهایی

فناوری‌های تقویت‌کننده بذر مانند پرایمینگ اهمیت بسزایی در افزایش نمود بذر در شرایط مختلف رشدی و

REFERENCES

1. Aboutalebian, M. A. (2006). *Seed osmoprimer improved seed invigoration in cold and temperate Iranian wheat cultivars under stress conditions*. Ph.D. Thesis. College of Agriculture and Natural Resources, University of Tehran. Karaj, Iran.
2. Alvim, F. C., Carolino, S. M., Cascardo, J. C., Nunes, C. C., Martinez, C. A., Otoni, W. C. & Fontes, E. P. (2001). Enhanced accumulation of BiP in transgenic plants confers tolerance to water stress. *Plant Physiology*, 126, 1042–1054.
3. Bewley, J. D. (1997). Seed Germination and Dormancy. *Plant Cell*, 9, 1055-1066.
4. Black, M. & Bewley, J. D. (2000). *Seed technology and its biological basis*. Sheffield academic Press Ltd, England. 419 pp.
5. Bradford, M. M. (1976). A rapid and sensitive method for the quantitation of microgram quantities of protein utilizing the principle of protein-dye binding. *Analytical Biochemistry*, 72, 248-254.
6. Bradford, K. J., Chen, F., Cooley, M. B., Dahal, P., Downie, B., Fukunaga, K. K., Gee, O.H., Gurusinghe, S., Mella, R. A., Nonogaki, H., Wu, T. & Yim, K. O. (2000). Gene expression prior to radicle emergence in imbibed tomato seeds. *Seed biology: advances and applications*. CAB International, Wallingford, UK, 231-251.
7. Damerval, C., de Vienne, D., Zivy, M. & Thiellement, H. (1986). Technical improvements in two-dimensional electrophoresis increase the level of genetic variation detected in wheat seedling proteins. *Electrophoresis*, 7, 52-54.
8. De Castro, R. D., van Lammeren, A. A. M., Groot, S. P. C., Bino, R. J. & Hilhorst, H. W. M. (2000). Cell division and subsequent radicle protrusion in tomato seeds are inhibited by osmotic stress but DNA synthesis and formation of microtubular cytoskeleton are not. *Plant Physiology*, 122, 327-336.
9. Ernst, D., Bodemann, A., Schmelzer, E., Langebartels, C. & Sandermann, H. J. (1996). β -1,3- Glucanase mRNA is locally, but not systemically induced in *Nicotiana tabacum L. cv. BEL* after ozone fumigation. *Journal of Plant Physiology*, 148, 215-221.
10. Gallardo, K., Job, C., Groot, S. P., Puype, M., Demol, H., Vandekerckhove, J. & Job, D. (2001). Proteomic analysis of *Aarabidopsis* seed germination and priming. *Plant Physiology*, 126, 835-848.
11. Groth, G. & Strotmann, H. (1999). New results about structure, function and regulation of the chloroplast ATP synthase (CF_0CF_1). *Physiology Plantarum*, 106, 142–148.
12. Hincha, D. K., Meins, F. Jr. & Schmitt, J. M. (1997). β -1, 3-Glucanase is cryoprotective *in vitro* and is accumulated in leaves during cold acclimation. *Plant Physiology*, 114, 1077-1083.
13. Hoj, P. B. & Fincher, G. B. (1995). Molecular evolution of plant β -glucan endohydrolases. *Plant Journal*, 7, 367-379.
14. Job, D., Capron, I., Job, C., Dacher, F., Corbineau, F. & Come, D. (2000). Identification of Germination-specific Protein Markers and their Use in Seed Priming Technology. *Seed Biology: Advances and In: Proceedings of the Sixth International Workshop on Seeds*, Merida, Mexico, 1999.
15. Komatsu, S., Abbasi, F., Kobori, E., Fujisawa, Y., Kato, H. & Iwasaki, Y. (2005). Proteomic analysis of rice embryo: an approach for investigating $G\alpha$ protein-regulated proteins. *Proteomics*, 5, 3932-3941.

16. Kumar, V., Rani, A., Pandey, V. & Chauhan, G. S. (2006). Changes in lipoxygenase isozymes and trypsin inhibitor activity in soybean during germination at different temperatures. *Food Chemistry*, 99, 563-568.
17. McDonald, M. B. (1995). Seed priming. In: Black, M. and Bewley, Y. D., (eds), *Seed technology and its biological basis*. Sheffield Academic Press CRC, Sheffield, England 9, 287-317.
18. Michel, B. E. & Kaufmann, M. R. (1973). The osmotic potential of polyethyleneglycol 6000. *Plant Physiology*, 51, 914-916.
19. Moosavi, A., Tavakkol Afshari, R., Sharifzadeh, F. & Aynehband, A. (2009). Effect of seed priming on germination characteristics, polyphenoloxidase, and peroxidase activities of four Amaranth cultivars. *Journal of Food, Agriculture and Environment*, 7, 353-358.
20. Ranal, M. A. & Santana, D. G. (2006). How and why to measure the germination process? *Revista Brasileira de Botânica*, 29, 1-11.
21. Still, D., Dahal, P. & Bradford, K. (1997). A single-seed assay for endo- β -mannanase activity from tomato endosperm and radicle tissues. *Plant Physiology*, 113, 13-20.
22. Stock, D., Leslie, A. G. & Walker, J. E. (1999). Molecular architecture of the rotary motor in ATP synthase. *Science*, 286, 1700-1705.
23. Su, P. & Li, H. (2008). Arabidopsis stromal 70-kD heat shock proteins are essential for plant development and important for thermotolerance of germinating seeds. *Plant Physiology*, 146, 1231-1241.
24. Sung, D. Y., Kaplan, F. & Guy, C. L. (2001). Plant hsp70 molecular chaperones: protein structure, gene family, expression and function. *Physiology Plantarum*, 113, 443-451.